

A.V. ЧЕРЕМНЫХ

РЕГИОНАЛЬНЫЕ РАЗЛОМЫ, БЛОКИ И НАПРЯЖЕННОЕ СОСТОЯНИЕ ВЕРХНЕЙ ЧАСТИ ЗЕМНОЙ КОРЫ В РАЙОНЕ УСТЬ-БАРГУЗИНСКОГО РАЗЛОМНОГО УЗЛА (БАЙКАЛЬСКАЯ РИФТОВАЯ СИСТЕМА)

Проведено картирование разломно-блочного строения и анализ напряженно-деформированного состояния верхней части земной коры на восточном побережье оз. Байкал. Для полигонов исследований построена карта разломно-блочного строения, которая детализирует представления о неоднородности верхней части земной коры. На карте отражены основные особенности блочного строения геологической среды. Выделены зоны региональных разломов, в пределах которых тектонофизическими методами изучены поля напряжений. Восстановление ориентировок векторов главных нормальных напряжений на этом участке, показало их значительные вариации в зависимости от расположения конкретного деформированного объема горных пород (обнажения) по отношению к активной на неотектоническом этапе развития территории разломно-блочной структуры.

Для исследования закономерностей геодинамики необходимо детальное картирование строения земной коры. Важные неоднородности, оказывающие несомненное влияние на современную геодинамику верхней части земной коры, — дизъюнктивные образования: разломы и разломно-блочные структуры, составляющие основу деструктивных зон литосферы [14]. Одно из проявлений дизъюнктивной тектоники, наряду с разноранговыми разломами и вычленяемыми ими блоками, — зоны сочленения разломов или разломные узлы. По определению С.И. Шермана с соавторами [12], зоны сочленения разломов — места пересечения разрывов и окружающее его пространство, на котором проявляются геолого-геофизические процессы (структурные, метаморфические, гидрологические, геотемпературные и др.) и (или) изменения напряженного состояния, вызванные пересечением или сочленением различно ориентированных дислокаций.

Автором проведено изучение разломно-блочного строения и напряженного состояния верхней части земной коры в районе Усть-Баргузинского разломного узла, который образован сочленением региональных разломов, ограничивающих впадину оз. Байкал и долину р. Баргузин (рис. 1). Район исследования характеризуется хорошо выраженным в новейшей структуре разломно-блочным строением. Контрастное проявление типично для разломов северо-западных бортов рифтовых впадин, а разломы юго-восточных бортов рифтов относительно слабо отражены в рельфе земной поверхности. Этим обстоятельством были определены комплексный характер исследования разломов, блоков, зон сочленения разломов и напряженного состояния верхней части земной коры, а также набор методических приемов для картирования разноранговых дизъюнктивных дислокаций.

Методы исследования и фактический материал

Работы проведены в два этапа: 1) составление карты разломно-блочного строения района исследований с использованием топографических и геологических карт; 2) изучение тектонической трещиноватости в пределах обнажений горных пород и восстановление ориентировки осей напряжений по геолого-структурным данным.

Картирование разломно-блочного строения. Блок — относительно монолитный объем горных пород, ограниченный разломами определенного иерархического уровня [14]. Относительно соседних активный блок перемещается по зонам разломов, как единое целое. Деформации верхней части земной коры отражены в рельфе. В связи с чем при картировании разломно-блочного строения за основу принята методика морфоструктурного районирования [5].

Вначале на топографических картах масштаба 1:200 000 отмечены линейные элементы рельефа — линеаменты — как продольные по отношению к хребтам, так и поперечные. Линеаменты в основном проводились по уступам склонов хребтов, а иногда по спрямленным участкам речных долин и местам смещения русел рек. Продольные линеаменты, как правило, следуют вдоль крупных элементов рельефа и отделяют горные хребты от впадин, т. е. разграничивают блоки, которым свойственны устойчивые поднятия и относительные опускания. Поперечные линеаменты чаще всего выражены прорывающими хребет долинами. Кроме того, иногда выделяют линеаменты внутри горных хребтов и впадин, которые отражают ступенчатое строение таких морфоструктур. Подобные линеаменты считались границами более низкого ранга. Далее на основе количественных характеристик горных хребтов, проверялась активность каждого конкретного линеамента. Согласно методике [5], при морфоструктурном районировании использо-

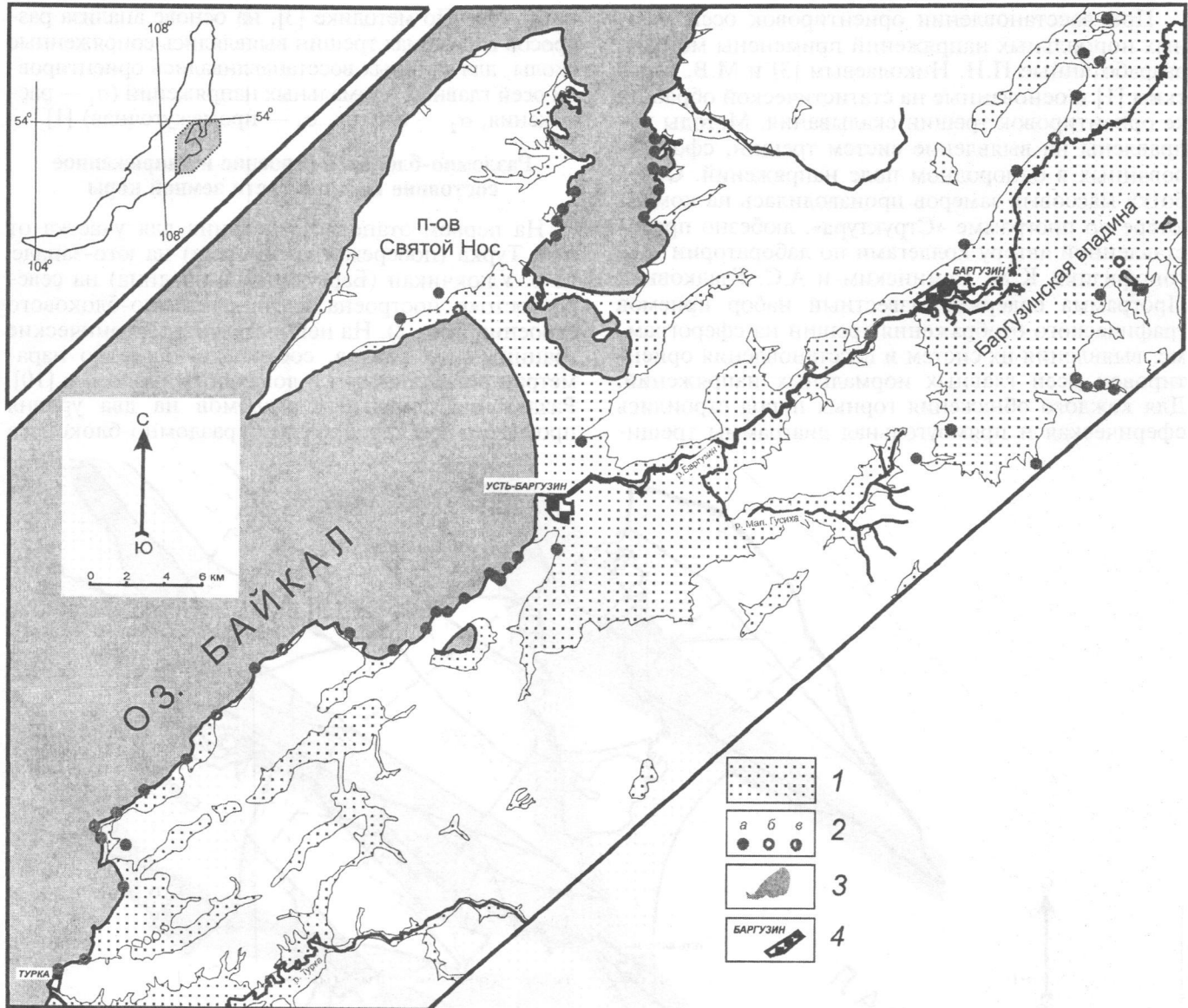


Рис. 1. Схема расположения точек наблюдения: 1 – кайнозойские отложения; 2 – точки наблюдения, в которых произведен массовый замер трещиноватости: а – коренные метаморфические и магматические породы, б – кайнозойские, в – породы докембрая, палеозоя и кайнозоя; 3 – озера; 4 – крупные населенные пункты

вались такие количественные показатели, как максимальная и средняя высоты осевой части хребта и простирание его оси. Скачкообразные изменения высоты хребта (на 0,1 от средней), сохраняющиеся на значительной его части по обе стороны от места скачка, и значительные ($> 20^\circ$) отклонения простирания хребта считались обусловленными активными тектоническими движениями по разломам. Это позволило разграничить территорию на области с однородной структурой рельефа.

Для уточнения разломно-блочного строения, установленного геоморфологическими методами, сопоставлены результаты морфоструктурного районирования с данными на государственных геологических картах масштаба 1:200 000. Это позволило уточнить положение некоторых из установленных при морфоструктурном районировании границ блоков и выявить внутриблочные разломы, не проявленные в рельефе и, по-видимому, неактив-

ные или слабо активные в неотектонический этап развития территории.

Геолого-структурные наблюдения и методика изучения напряжений. Геолого-структурные наблюдения проведены для картирования разломов и сбора материала по тектонической трещиноватости, необходимого для восстановления ориентировки осей главных нормальных напряжений. В коренных выходах горных пород фиксировались зоны дробления, скальвания и милонитизации. Изучение специфических структурных форм (сместители разломов, системы трещин, мелкие складки, будины) сопровождалось массовым замером элементов залегания трещин. В пределах изученной площади неминерализованные трещины изучены как в метаморфических и магматических породах докембрая и палеозоя, так и в осадочных верхнеплейстоценовых и голоценовых (рис. 1).

При восстановлении ориентировок осей главных нормальных напряжений применены методы, разработанные П.Н. Николаевым [3] и М.В. Гзовским [1] и основанные на статистической обработке ориентировок трещин скальвания. Методы направлены на выявление систем трещин, сформированных в однородном поле напряжений. Обработка массовых замеров производилась на компьютере по программе «Структура», любезно предоставленной автору коллегами по лаборатории тектонофизики К.Ж. Семинским и А.С. Гладковым. Программа содержит известный набор приемов графического отображения трещин на сферограмме, выявления их систем и восстановления ориентировок осей главных нормальных напряжений. Для каждого обнажения горных пород строились сферическая и прямоугольная диаграммы треши-

новатости. По методике [3], на основе анализа разбросов в системах трещин выявлялись сопряженные сколы, для которых восстанавливались ориентировки осей главных нормальных напряжений (σ_1 — растяжения, σ_2 — сжатия, σ_3 — промежуточная) [1].

Разломно-блочное строение и напряженное состояние верхней части земной коры

На первом этапе исследования для участка от пос. Турка (побережье оз. Байкал) на юго-западе до с. Улюкчикан (Баргузинская впадина) на северо-востоке построена карта разломно-блочного строения (рис. 2). На ней выделены тектонические границы трех рангов, соответствующие по параметрам региональным и локальным разломам [10]. Разделение локальных разломов на два уровня проведено при картировании разломно-блочного

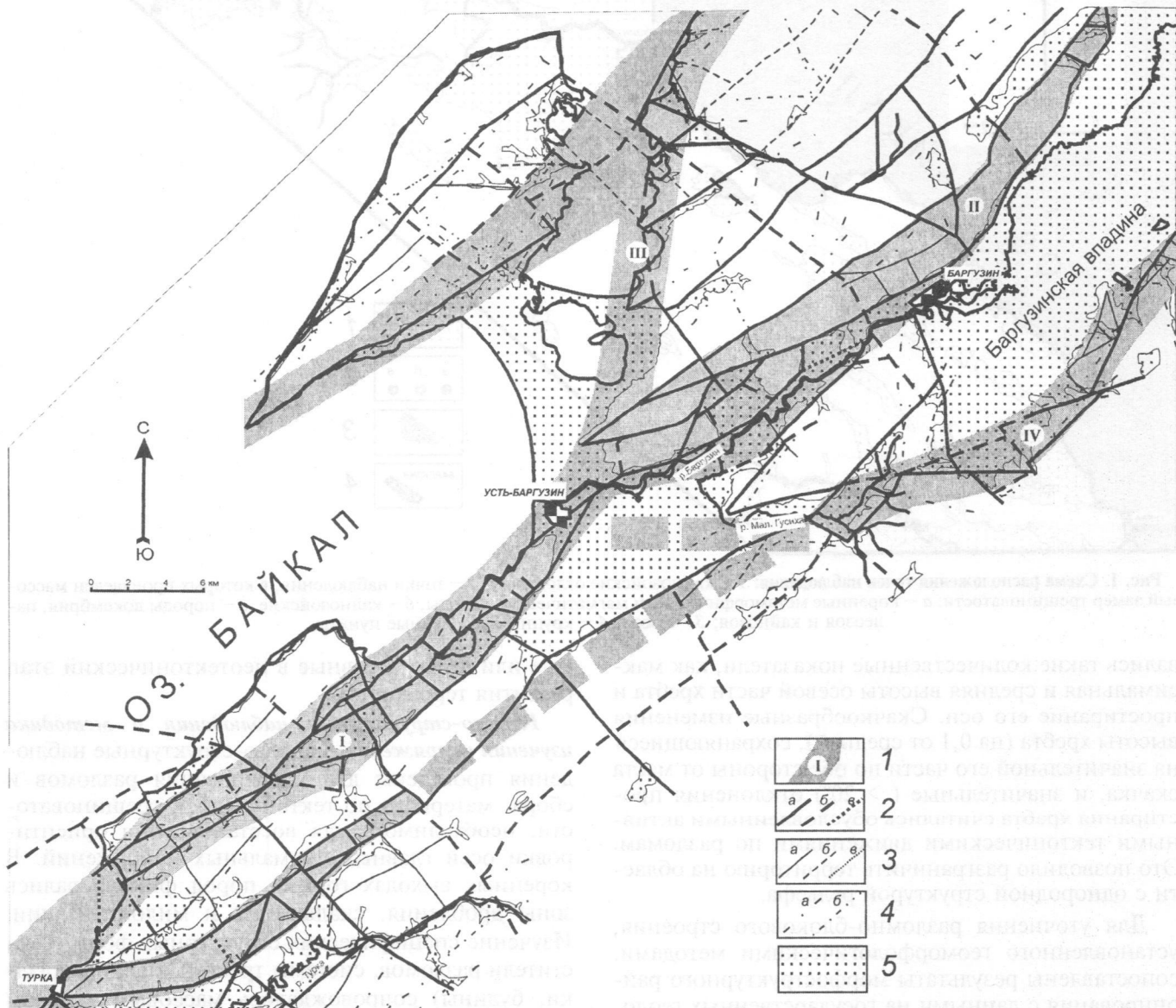


Рис. 2. Карта разломно-блочного строения верхней части земной коры в районе Усть-Баргузинского разломного узла: 1 — зоны региональных разломов: I — Турка-Усть-Баргузинский, II — южная кулиса Баргузинского разлома, III — Чивиркуйский, IV — Суворово-Усть-Баргузинский; 2 — активные границы локальных блоков 1-го уровня (*a* — хорошо, *b* — слабо выраженные в рельефе, *v* — зафиксированные при геолого-структурных исследованиях); 3 — активные границы локальных блоков 2-го уровня (*a* — хорошо выраженные в рельефе, *b* — слабо, *v* — зафиксированные при геолого-структурных исследованиях); 4 — внутриблочные разрывные нарушения (*a* — установленные; *b* — предполагаемые); 5 — кайнозойские отложения

строения. На выделении зон региональных разломов остановимся подробнее.

Разломы — объемные тела [2, 8, 10], характеризующиеся неравномерностью разрушения геологической среды как вкrest, так и вдоль простирания. Соседние блоки взаимодействуют в некотором объеме геологической среды, и лишь на участках, где имеется магистральный сместьитель, основные перемещения могут быть сосредоточены в узкой линейной зоне. Для выявления зоны разлома, у которого не выражен магистральный сместьитель, часто применяют показатель плотности мелких разрывов. На территориях с блоковым строением земной коры для этой цели возможен анализ размеров блоков, подобно выделению зон дробления [9]. Так, одна из закономерностей блокового строения земной коры — наличие преобладающих размеров неоднородностей [6]. Для локальных блоков восточного побережья оз. Байкал вычислены по методике [6] и проанализированы их размеры (рис. 3). Распределение блоков с поперечными размерами, меньшими 5 и 8 км в районе исследования, позволило установить зоны региональных разломов. Усть-Баргузинский разломный узел образуют зоны: 1) Турка-Усть-Баргузинского разлома, 2) южной кулисы Баргузинского разлома, 3) разлома юго-восточного обрамления Баргузинской впадины (далее Суво-Усть-Баргузинский), 4) Чивыркуйского разлома (рис. 2).

Для района исследований, как и для всей Байкальской рифтовой системы (БРС), характерно широкое распространение разломов северо-восточного и северо-западного простираций при подчиненном значении субмеридиональных и субширотных разрывов (рис. 4). В связи с чем при описании напряженно-деформированного состояния в зонах региональных разломов будем придерживаться следующей систематизации. Во-первых, напряженное состояние рассмотрим для каждого регионального разлома, как для обособленного объекта. Во-вторых, результаты восстановления напряжений изучим в зависимости от ориентировки локальных разрывов, вблизи которых произведены наблюдения, а также в местах сочленения разрывов.

Для Турка-Усть-Баргузинской разломной зоны восстановлено напряженное состояние в 23 точках наблюдения, из которых шесть располагались в озерных отложениях плейстоцена и голоцене. Полученные решения свидетельствуют о широком развитии сдвиговых деформаций в этой зоне, а условия растяжения проявлены в меньшей степени (рис. 5, I). Из 26 решений, касающихся ориентировки осей главных нормальных напряжений, только семь соответствуют обстановкам растяжения и растяжения со сдвигом, а остальные — сдвиговым. Сдвиговое напряженное состояние преобладает и в плейстоцен-голоценовых отложениях.

Все решения в зависимости от простираций локальных разрывов, вблизи которых произведены наблюдения, систематизированы. Так, для разрывов северо-восточного простирания наиболее типичны обстановки сдвига и растяжения со сдвигом с северо-западной ориентировкой оси растяжения

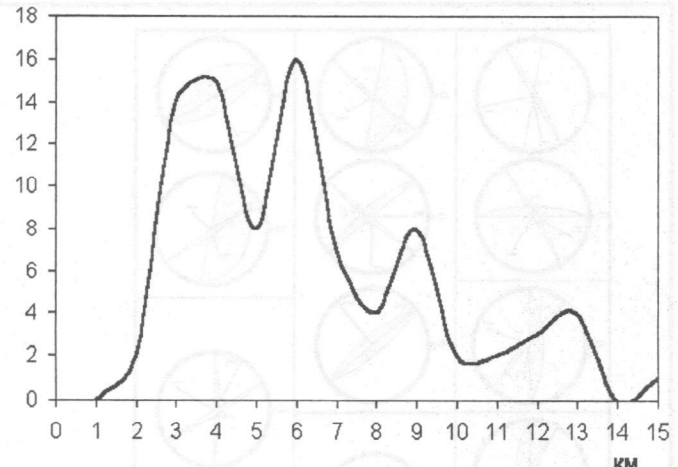


Рис. 3. Сглаженная гистограмма размеров локальных блоков 1-го уровня

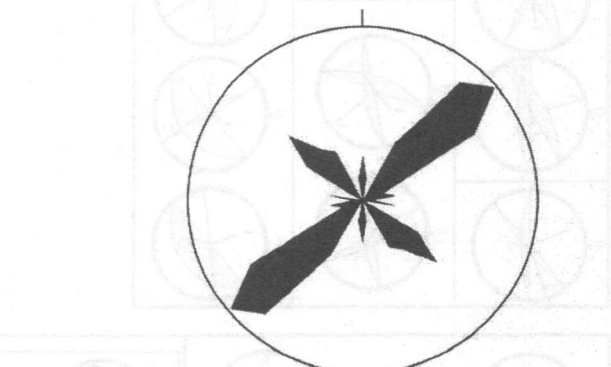


Рис. 4. Роза-диаграмма простирации активных границ локальных блоков 1-го уровня

и северо-восточной оси сжатия (рис. 5, I, A). Наоборот, в зонах влияния северо-западных разрывов оси растяжения ориентированы в северо-восточном и субширотном направлениях, а оси сжатия — в северо-западном и субмеридиональном (рис. 5, I, B). Интересно, что узлам сочленения разрывов свойственно наличие нескольких решений об ориентировке осей напряжений (рис. 5, I, B). В разломных узлах фиксируются обстановки растяжения, растяжения со сдвигом и сдвигом.

Для южной кулисы Баргузинского разлома в девяти точках наблюдения получены 10 решений об ориентировке осей напряжений, три решения из которых в кайнозойских образованиях. Из 10 решений восемь соответствуют сдвиговому полю напряжений, одно — растяжению, одно — растяжению со сдвигом (рис. 5, II). Сдвиговое напряженное состояние характерно для зоны основного сместьителя южной кулисы Баргузинского разлома, которая обладает северо-восточным простираием. Оси растяжения здесь имеют северо-западное и субмеридиональное направления, а оси сжатия северо-восточное и субширотное (рис. 5, II, A). В зонах локальных разломов северо-западного простирания фиксируются обстановки сдвига и растяже-

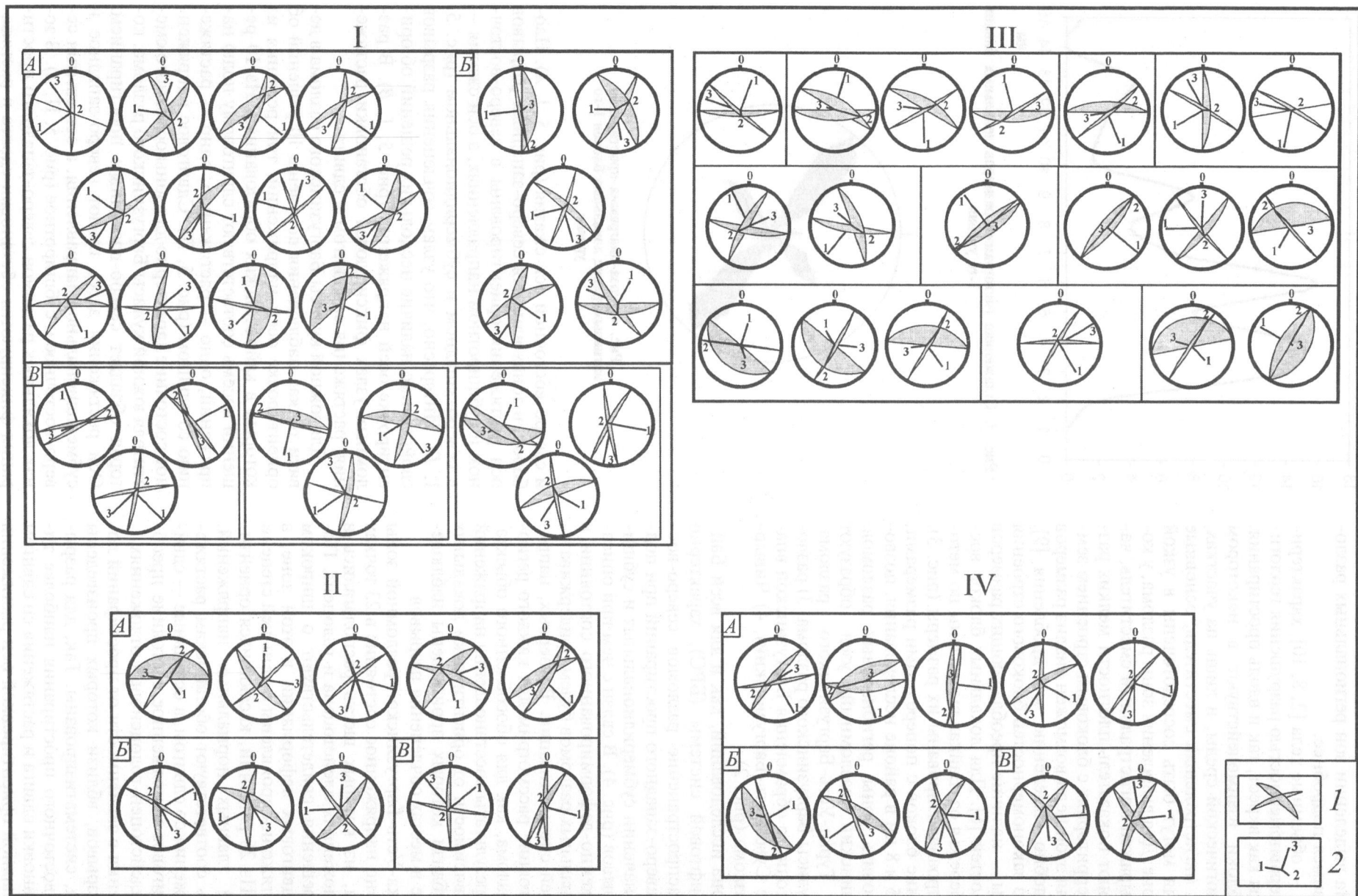


Рис. 5. Диаграммы ориентировки векторов главных нормальных напряжений в зонах региональных разломов: I – IV – региональные разломы (соответствуют рис. 2). А – в пределах локальных разрывов северо-восточного простириания; Б – локальных разрывов северо-западного простириания; В – в узлах сочленения локальных разрывов; диаграммы представлены в проекции верхней полусфера: 1 – сопряженные сколы; 2 – оси главных нормальных напряжений: 1 – растяжения, 2 – промежуточная, 3 – сжатия

для определения углов наклона осей главных нормальных напряжений в разломах

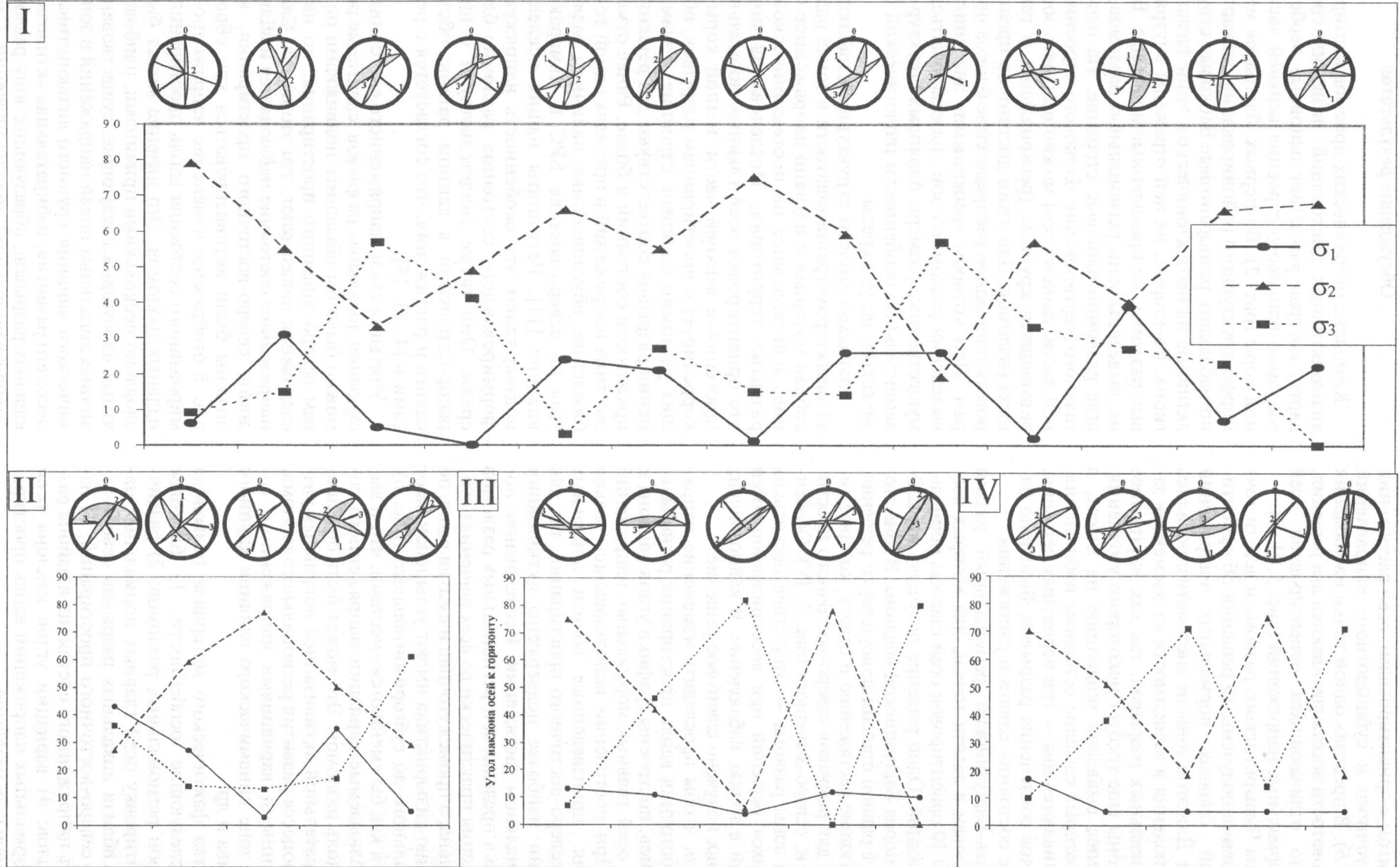


Рис. 6. Графики изменения вдоль простирации региональных разломов углов наклона к горизонту осей главных нормальных напряжений: I – IV – региональные разломы; оси: σ_1 – растяжение, σ_2 – промежуточная, σ_3 – сжатия

ния со сдвигом с ориентировками осей растяжения северо-восточного и субширотного направлений (рис. 5, II, B). В пределах одной точки наблюдения по трещиноватости восстанавливаются два решения, существенно отличающихся ориентировкой осей главных нормальных напряжений (рис. 5, II, B).

Для зоны Чивыркуйского разлома в девяти точках наблюдения получены 19 решений об ориентировке осей главных нормальных напряжений (рис. 5, III). Для этой зоны не систематизировались точки наблюдения в зависимости от элементов залегания локальных разрывов, так как внутреннее строение зоны еще требует некоторого уточнения. Тем не менее выявлена тенденция: на мысах, в пределах которых сделаны основные наблюдения, восстанавливаются два — три вероятных решения, как для узлов сочленения разрывов. Выявлено напряженные состояния сдвига и растяжения.

Суво-Усть-Баргузинский региональный разлом охарактеризован в девяти точках, для которых восстановлены 10 ориентировок осей главных нормальных напряжений. Одно решение получено для кайнозойских пород Баргузинской впадины. В зоне этого разлома в равной степени присутствуют решения, соответствующие растяжению и сдвигу, которые типичны как для разрывов северо-восточного простираия, так и северо-западного (рис. 5, IV). Особенность этой зоны разлома — отсутствие нескольких отличающихся решений при восстановлении осей напряжений в точках наблюдения. В кайнозойских образованиях получено сдвиговое решение.

Для того, чтобы проследить изменение напряженного состояния вдоль простираия региональных разломов, построены графики углов наклона к горизонту осей главных нормальных напряжений (рис. 6). При построении использовались только наблюдения, произведенные вблизи локальных разрывов северо-восточного простираия, так как именно они наиболее подвержены активизации при региональном растяжении. Исследование показало, что в пределах зон региональных разломов ось растяжения практически во всех решениях субгоризонтальна, а промежуточная и сжатия вдоль простираия дизьюнктива имеют углы наклона от субвертикального до субгоризонтального (рис. 6). Причем оси как бы «меняются» местами, что и вызывает наблюдавшиеся вариации напряженного состояния вдоль разломов. Это может быть обусловлено избирательной активизацией локальных разрывов в процессе развития регионального разлома, одновременными вариациями напряженного состояния в зоне динамического влияния крупного дизьюнктива и др.

Обработка фактического материала позволила выявить следующие особенности: 1) блоковое строение зон региональных разломов; 2) различную ориентировку осей главных нормальных напряжений вблизи локальных разрывов северо-западного и северо-восточного простираий; 3) изменчивость напряженного состояния в районе разломных узлов; 4) вариации углов наклона осей главных нормальных напряжений вдоль простираия региональных разломов.

Обсуждение результатов

Комплекс методических приемов картирования дизьюнктивных дислокаций позволил составить карту, которая учитывает основные особенности разломно-блокового строения верхней части земной коры (рис. 2). Во-первых, благодаря методике морфоструктурного районирования, на карте можно наблюдать разноранговые блоковые структуры, активные на неотектоническом этапе развития региона. Во-вторых, на ней отражены внутриблочные разломы, не проявленные в рельефе. В-третьих, выделены зоны региональных разломов, имеющие разломно-блоковое строение. На основе детального картирования блокового строения верхней части земной коры можно выявлять зоны развивающихся крупных (региональных и генеральных) разломов. Для этого достаточно проанализировать площадное распределение блоков по размерам. При котором «реперными» значениями для выделения разломных зон должны являться преимущественные размеры блоковых структур — фундаментальные особенности геологической (геофизической, по [6]) среды.

Благодаря геолого-структурным наблюдениям за характером трещиноватости в зонах разломов, собран материал и изучено напряженное состояние, действовавшее на неотектоническом этапе развития территории. Исследования показали, что ориентировка осей главных нормальных напряжений в верхней части земной коры прямо коррелирует с простираием разрывов, образующих разломно-блоковое строение. Узлам сочленения разрывов соответствуют два решения о напряженном состоянии и более. Ранее отмечались два типа напряжений в пределах одной точки наблюдения, обусловленные наличием разломного узла на северо-востоке БРС в Намаракинской впадине [11]. Результаты наших исследований подтверждают эту особенность напряженно-деформированного состояния разломно-блочной среды. Они также свидетельствуют о широком распространении в данном районе обстановок сдвига и растяжения, что согласуется с результатами в [4, 13, 15].

Учитывая связь напряженного состояния и простираия локальных разрывов сдвиговые решения можно было бы объяснить подвижками по разрывам северо-западного простираия, но наши исследования показывают, что это не так. Сдвиговое напряженное состояние наблюдается и вблизи разломов северо-восточного простираия, которые должны были активизироваться как сбросы. На рис. 6 отображено изменение напряженно-деформированного состояния вдоль простираия региональных разломов. Это явление может быть обусловлено несколькими причинами, наиболее вероятные из которых следующие: существование различных локальных полей напряжений в зоне динамического влияния крупного дизьюнктива в процессе его развития; избирательная активизация локальных разрывов, образующих зону разлома, при смене регионального поля напряжений. Сдвиговое

поле напряжений, по представлениям некоторых исследователей [4, 15], существовало на ранне- (до середины плиоцена), а поле растяжения — на позднеорогенном (поздний плиоцен, плейстоцен и голоцен) этапах развития БРС. Тогда сдвиговые поля в зонах региональных разломов могут быть связаны с избирательной активизацией локальных разрывов северо-восточного простирания. Нельзя исключать и возможность того, что одновременно существовали различные локальные поля напряжений в зоне динамического влияния крупного дизьюнктива в результате структурно-вещественных неоднородностей строения зоны или переиндексации осей главных нормальных напряжений. Последняя может быть связана с особенностью самого поля напряжений, когда σ_3 и σ_2 имеют близкие значения, а в результате подвижек по разломам величины σ_3 и σ_2 меняются. Такой механизм детально освещен в [7, 8]. Однако явление изменения напряженного состояния вдоль простирания региональных разломов требует дальнейшего исследования.

В целом Усть-Баргузинскому разломному узлу присуще сдвиговое поле напряжений. Так, намечается тенденция увеличения числа обстановок сдвига по мере приближения к разломному узлу. А непосредственно в зоне Усть-Баргузинского сочленения региональных разломов напряженное состояние значительно меняется, приобретая ориентировку, не характерную для БРС.

Заключение

Зоны сочленения разломов или разломные узлы являются важными объектами тектонического строения верхней части земной коры. В пределах Усть-Баргузинского разломного узла отмечены разломно-блоковое строение и значительные вариации напряженного состояния геологической среды. Установлена связь ориентировки осей главных нормальных напряжений и простирации локальных разрывов, образующих блоковое строение. При формировании разломно-блокового строения типы локальных полей напряжений зависят от характера неоднородности геологической среды. В результате активизации существовавших и образования новых разрывов возникает иерархическое блоковое строение. Крупные зоны региональных разломов в процессе развития обладают блоковым строением. Картирование таких разломов возможно на основе данных по особенностям разломно-блоковой делимости геологической среды. Комплексное изучение закономерностей разломно-блокового строения и напряженного состояния позволяет получить более обоснованное представление о динамике верхней части земной коры.

Работа выполнена при поддержке РФФИ, гранты 04-05-64348, 05-05-64327, и программы РАН — СО РАН «Геодинамическая эволюция литосферы Центрально-Азиатского подвижного пояса (от океана к континенту)».

ЛИТЕРАТУРА

- Гзовский М.В. Основы тектонофизики. М.: Наука, 1975. 536 с.
 - Лобацкая Р.М. Структурная зональность разломов. М.:Недра, 1987. 128 с.
 - Николаев в П.Н. Методика тектонодинамического анализа. М.:Недра,1992. 295 с.
 - Парфенец А.В., Саньков В.А., Мирошниченко А.И. и др. Эволюция напряженного состояния земной коры Монголо-Байкальского подвижного пояса // Тихоокеанская геология. 2002. Т. 21, № 1. С. 14–28.
 - Ранчман Е.Я. Места землетрясений и морфоструктура горных стран. М.:Наука,1979. 171 с.
 - Садовский М.А., Болховитинов Л.Г., Писаренко В.Ф. Деформирование геофизической среды и сейсмический процесс. М.: Наука, 1987. 100 с.
 - Сейсмотектоника и сейсмичность рифтовой системы Прибайкалья / Под ред. В.П. Солоненко. М.: Наука, 1968. 252 с.
 - Сенинский К.Ж. Внутренняя структура континентальных разломовых зон. Тектонофизический аспект. Новосибирск: Изд-во СО РАН, Филиал «Гео», 2003. 244 с.
 - Сметанин А.В., Черемных А.В. Анализ гравитационных аномалий с целью изучения фундамента юга Сибирской платформы // Геофизика. 2000. № 5 С. 35–39
 - Шерман С.И. Физические закономерности развития разломов земной коры. Новосибирск: Наука, Сиб. отд-ние, 1977. 102 с.
 - Шерман С.И., Леви К.Г., Ружич В.В. и др. Геология и сейсмичность зоны БАМ. Неотектоника. Новосибирск: Наука, 1984. 208 с.
 - Шерман С.И., Адамович А.Н., Мирошниченко А.И. Условия активизации зон сочленения разломов // Геология и геофизика. 1986. № 3. С. 10–18.
 - Шерман С.И., Днепровский Ю.Ю. Поля напряжений земной коры и геолого-структурные методы их изучения. Новосибирск: Наука, Сиб. отд-ние, 1989. 158 с.
 - Шерман С.И., Семинский К.Ж., Черемных А.В. Деструктивные зоны и разломно-блочные структуры Центральной Азии // Тихоокеанская геология. 1999. Т. 18, № 2. С. 41–53.
 - Sa'nov V.A., Miroshnichenko A.I., Levi K.G. et al. Cenozoic stress field evolution in the Baikal Rift Zone // Bull. Centre Rech. Elf Explor. Prod. 1997. 21, 2. P. 435–455.

Институт земной коры СО РАН Рецензент — Н.Ю. Васильев